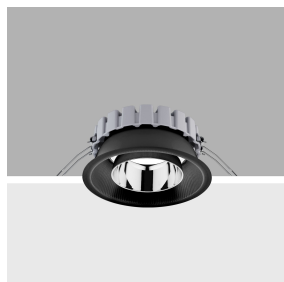


Dernière mise à jour des informations: Avril 2025

Configuration du produit: QW12.F8

QW12.F8: Ø 163 mm - neutral white - DALI - UGR<19 - 24.4W 2822lm - 4000K - Noir/transparent/chrome

**Référence produit**

QW12.F8: Ø 163 mm - neutral white - DALI - UGR<19 - 24.4W 2822lm - 4000K - Noir/transparent/chrome

Description technique

Appareil rond fixe prévu pour l'utilisation de source LED à technologie C.o.B. Version lampe à poser, avec plaque. Réflecteur en matière thermoplastique avec récupérateur de flux et écran filtrant positionné au centre de l'optique. L'écran filtrant est en matière thermoplastique, métallisé aux vapeurs d'aluminium sous vide avec couche de protection anti-rayures. Dissipateur en aluminium moulé sous pression, peint coloris gris. Le produit est pourvu de LED tonalité neutral white (4 000K). Émission lumineuse UGR<19 L<3000 cd/m² idéale pour lieux accueillant des écrans d'ordinateurs.

Installation

A encastrer à l'aide de ressorts de torsion qui permettent une installation facile sur faux plafonds d'une épaisseur de 1 à 25 mm.

Coloris

Noir/transparent/chrome (F8)

Poids (Kg)

0.76

Montage

en saillie au plafond

Câblage

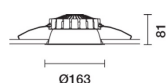
Le produit comprend les composants DALI

Conforme à la norme EN60598-1 et à la réglementation en vigueur (o à la réglementation relative)



IP20

IP54

Sur la partie visible
du produit une fois installé**Données techniques**

| | | | |
|--|------|--------------------------------------|---------------------------------|
| Im du système: | 2686 | Température de couleur [K]: | 4000 |
| W du système: | 24.4 | MacAdam Step: | 2 |
| Im source: | 3400 | Durée de vie LED 1: | > 50,000h - L90 - B10 (Ta 25°C) |
| W source: | 21 | Code Lampe: | LED |
| Efficacité lumineuse (lm/W, 110.1 valeurs du système): | | Nombre de lampes par groupe optique: | 1 |
| Im en mode secours: | - | Code ZVEI: | LED |
| Flux total émis à un angle de 90° ou plus [Lm]: | 0 | Nombre de groupes optiques: | 1 |
| Light Output Ratio (L.O.R.) [%]: | 79 | Control: | DALI-2 |
| IRC (minimum): | 80 | | |

Polaire

| Imax=3143 cd | | CIE | | Lux | | | |
|--------------|------|----------------------------|--|-----|-----|-----|------|
| 90° | 180° | nL 0.79 | | h | d | Em | Emax |
| | | 93-99-100-100-79 | | | | | |
| | | UGR 16.3-16.2 | | | | | |
| | | DIN | | | | | |
| | | A.61 | | 2 | 2.1 | 604 | 786 |
| | | UTE | | 4 | 4.2 | 151 | 196 |
| | | 0.79A+0.00T | | 6 | 6.3 | 67 | 87 |
| | | F*1=925 | | 8 | 8.4 | 38 | 49 |
| | | F*1+F*2=994 | | | | | |
| | | F*1+F*2+F*3=998 | | | | | |
| | | CIBSE | | | | | |
| | | LG3 L<1500 cd/m² at 65° | | | | | |
| | | UGR<19 L<1500 cd/mq @65° | | | | | |
| α=55° | | | | | | | |

Coefficients d'utilisation

| R | 77 | 75 | 73 | 71 | 55 | 53 | 33 | 00 | DRR |
|------|----|----|----|----|----|----|----|----|-----|
| K0.8 | 69 | 64 | 61 | 59 | 64 | 61 | 60 | 58 | 73 |
| 1.0 | 72 | 68 | 66 | 63 | 68 | 65 | 65 | 62 | 78 |
| 1.5 | 77 | 74 | 71 | 70 | 73 | 71 | 70 | 67 | 85 |
| 2.0 | 79 | 77 | 76 | 74 | 76 | 75 | 74 | 71 | 90 |
| 2.5 | 81 | 79 | 78 | 77 | 78 | 77 | 76 | 74 | 93 |
| 3.0 | 82 | 81 | 80 | 79 | 80 | 79 | 78 | 75 | 96 |
| 4.0 | 83 | 82 | 82 | 81 | 81 | 80 | 79 | 77 | 97 |
| 5.0 | 84 | 83 | 82 | 82 | 82 | 81 | 80 | 78 | 98 |

Courbe limite de luminance

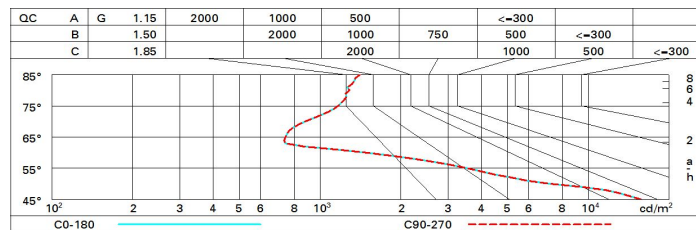


Diagramme UGR

| Corrected UGR values (at 3400 lm bare lamp luminous flux) | | | | | | | | | | | |
|--|-----|---------------------|------|------|------|------|-------------------|------|------|------|------|
| Reflect.: ceiling/cav walls work pl. Room dim x y | | viewed crosswise | | | | | viewed endwise | | | | |
| 2H | 2H | 10.7 | 17.4 | 17.0 | 17.6 | 17.9 | 10.7 | 17.4 | 17.0 | 17.6 | 17.9 |
| | 3H | 10.6 | 17.2 | 16.9 | 17.5 | 17.7 | 10.6 | 17.2 | 16.9 | 17.5 | 17.7 |
| | 4H | 10.5 | 17.1 | 16.9 | 17.4 | 17.7 | 10.5 | 17.1 | 16.8 | 17.4 | 17.7 |
| | 6H | 10.5 | 17.0 | 16.8 | 17.3 | 17.6 | 10.4 | 16.9 | 16.8 | 17.3 | 17.6 |
| | 8H | 10.4 | 16.9 | 16.8 | 17.3 | 17.6 | 10.4 | 16.9 | 16.8 | 17.2 | 17.6 |
| | 12H | 10.4 | 16.9 | 16.8 | 17.2 | 17.6 | 10.4 | 16.8 | 16.7 | 17.2 | 17.5 |
| 4H | 2H | 10.5 | 17.1 | 16.8 | 17.4 | 17.7 | 10.5 | 17.1 | 16.9 | 17.4 | 17.7 |
| | 3H | 10.4 | 16.9 | 16.8 | 17.2 | 17.5 | 10.4 | 16.9 | 16.8 | 17.2 | 17.6 |
| | 4H | 10.3 | 16.7 | 16.7 | 17.1 | 17.5 | 10.3 | 16.7 | 16.7 | 17.1 | 17.5 |
| | 6H | 10.3 | 16.6 | 16.7 | 17.0 | 17.5 | 10.2 | 16.6 | 16.7 | 17.0 | 17.4 |
| | 8H | 10.3 | 16.6 | 16.7 | 17.0 | 17.4 | 10.2 | 16.5 | 16.6 | 17.0 | 17.4 |
| | 12H | 10.2 | 16.5 | 16.7 | 17.0 | 17.4 | 10.2 | 16.5 | 16.6 | 16.9 | 17.4 |
| 8H | 4H | 10.2 | 16.5 | 16.6 | 17.0 | 17.4 | 10.3 | 16.6 | 16.7 | 17.0 | 17.4 |
| | 6H | 10.2 | 16.5 | 16.6 | 16.9 | 17.4 | 10.2 | 16.5 | 16.7 | 16.9 | 17.4 |
| | 8H | 10.2 | 16.4 | 16.6 | 16.9 | 17.4 | 10.2 | 16.4 | 16.6 | 16.9 | 17.4 |
| | 12H | 10.1 | 16.3 | 16.6 | 16.8 | 17.4 | 10.1 | 16.3 | 16.6 | 16.8 | 17.3 |
| 12H | 4H | 10.2 | 16.5 | 16.6 | 16.9 | 17.4 | 10.2 | 16.5 | 16.7 | 17.0 | 17.4 |
| | 6H | 10.1 | 16.4 | 16.6 | 16.8 | 17.3 | 10.2 | 16.4 | 16.7 | 16.9 | 17.4 |
| | 8H | 10.1 | 16.3 | 16.6 | 16.8 | 17.3 | 10.1 | 16.3 | 16.6 | 16.8 | 17.4 |
| Variations with the observer position at spacing: | | | | | | | | | | | |
| S = | | 1.0H | | | | | 3.9 / -7.0 | | | | |
| | | 1.5H | | | | | 0.5 / -9.3 | | | | |
| | | 2.0H | | | | | 8.5 / -9.5 | | | | |